

# アルミ合金材の横倒れ座屈に関する研究(4報)

大阪大学工学部 正員 前田幸雄  
大阪府立工專 正員○三宮和彦  
神戸製鋼所 正員 梶本政良

まえがき アルミ合金大形形材を橋梁等重量構造物の主要部材として積極的に使用するため、アルミ合金材による3種類の曲げ圧縮許容応力度算定の資料を得ることを目的として、前報で主たる構造用アルミ合金A5083(Al-Mg系2元合金、非熱処理)とA7N01(Al-Si-Mg系3元合金、熱処理)の大形押出形材に、等曲げモーメントが作用する場合の横倒れ座屈強度について報告を行ってきた。今回同じ目的で上記と同材質、同一断面寸法の2種のアルミ合金形材の両端に、正の下等曲げモーメントを作用させ、生ずる非弾性域での横倒れ座屈強度について実験的考察を加えたものである。

試験材及び試験方法 試験材は押出I形材で、冷間加工により歪の矯正を行っている。その断面をFig.1に、その分類を表-1に示す。またその機械的性質等については(3報)を参照されたい。試験方法はFig.2に示す如く、載荷荷重に腕の長さを変えて載荷し、試験材の両端に不等曲げモーメント比1:1.5を作用させた。なお載荷荷重は図に示す位置で横支保されている。試験材の変位(U,V)は、荷重の両端部並びに1/4等分点に設置したアルミ合金L材の棒を基準として、ダイヤルゲージで測定した。断面応力測定に用いた塑性ケージの貼付位置をFig.1に示す。

実験結果と考察 測定したまでの最大の水平変位を示す断面について、その測定値から荷重の増大と共に変化する様子をFig.3に示す。またその断面の圧縮ランゲ上面における垂直、水平の両変位とともに連成歪み変化する様子をFig.4に示す。これらの歪みは荷重の横倒れの発達につれ、フランジ面内の曲げにより、圧縮ランゲ上面の凸側では連成歪み減少、凹側では増大が起つている。従って上面両側の歪みが急速に分離する時刻は、横倒れ座屈強度判定の一つの資料となり得よう。著者達は横倒れ座屈強度を、

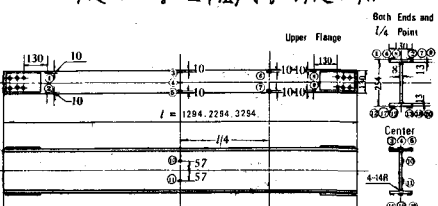


Fig. 1 Dimension of Test Beam

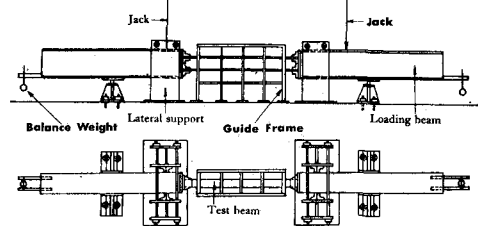


Fig. 2 Test Set-up

Material	Test Beam	Dimension (mm)	Num.
A 5083	TB 2-3	254 × 130 × 8 × 13 × 2294	1
	TB 3-3.4	254 × 130 × 8 × 13 × 3294	2
A 7N01	TB 2-3	254 × 130 × 8 × 13 × 2294	1
	TB 3-3.4	254 × 130 × 8 × 13 × 3294	2

Table 1. Test Beams

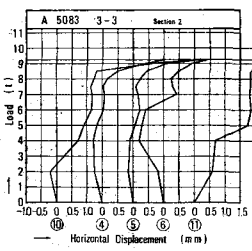
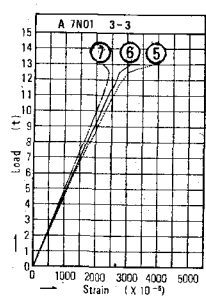
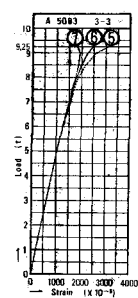
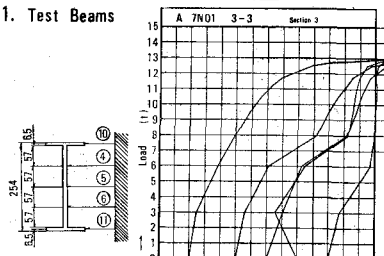


Fig. 3 Curves of Load vs. Horizontal Displacement under  $k=1/1.5$  (A 5083 and A 7N01)



柱の水平変位が急激に増大する時に注目し、歪の変化の状態を合せ考慮して判定することとした。なお座屈荷重附近における柱中央断面の歪の分布はFig.5の如くで、軸力の影響は小さいようである。横倒れ座屈強度は不等曲げモーメントの場合、正確な算定法が無いと思われる。主たる近似法の1つとして、Salvadoriの修正係数を用いた次式に示される Column Research Council の方法を参考とした。ここで非弾性領域での座屈応力は Basic Column Strength Curve により近似され得るとする。なおこの式は  $C_1 = 1$  のとき(3報)のウェブの変形を考慮した。座屈式(1)式と結果的に合致するものである。

$$G_{cr} = \frac{C_1}{S_x} \sqrt{M_c^2 + \frac{\pi^2 E I_y}{L^2} P_{ey}^2}$$

$$M_c = \frac{\pi}{KL} \sqrt{JG E I_y}, \quad P_{ey} = \frac{\pi^2 E I_y}{(KL)^2}$$

ここで  $C_1$  : Moment-Gradient Factor (by Salvadori)

$$C_1 = 1.45 - 1.05 k - 0.3 k^2, \quad C_1 = 2.3 \text{ when } k \leq -0.36$$

$k$ : 立筋モーメント比

$S_x$ : 断面寸数,  $t_y$ : フラットの重心間距離

$K$ : Effective-Length Factor,

$E I_y$ : 断面の弱軸まわり剛性,  $JG$ : 断面の接続剛性

A5083 及び A7N01 の試験柱の各ランゲル切り取

り部引張試験片による Stress-Strain Curve を導いた  $\sigma_c - \tau$  Curve (Fig.6) を用いて算出する。

Fig.7 に示す。従って、曲げモーメント

$D = k = 1/1.5$  とし上式より求めた

座屈強度が比例限界を越す場合、Equivalent Column の  $k/L$  を

算出し、これに対する座屈応力

度を各々 Column Strength Curve とする。

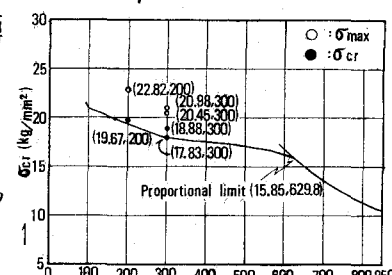


Fig.8 Curve of  $\sigma_{cr}$  vs.  $l$  under  $k=1/1.5$  (A 5083)

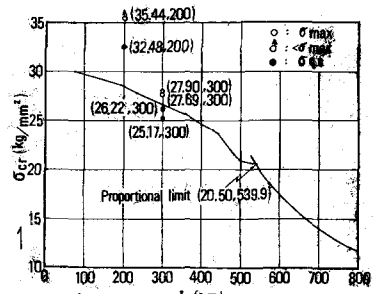


Fig.9 Curve of  $\sigma_{cr}$  vs.  $l$  under  $k=1/1.5$  (A 7N01)

より作成した横座屈強度曲線が Fig.8, Fig.9 である。ここで Effective-Length Factor  $K$  は両端固定と見て  $1/2$  とした。また強度計算に用いた弾性係数、ボアン比等は、前報と同値である。

以上により、 $\frac{t_y}{t_w} = 31.75$  (左: 柱高厚,  $t_y$ : フラット厚),  $\frac{b}{t_y} = 10$  ( $t_y$ : フラット厚) なる断面の柱では、その強軸まわりに不等曲げモーメント比  $k = 1/1.5$  が作用する場合、1) Fig.8, 9 から判断されるかなく、C.R.C. に準じて算出した理論座屈強度は、材質によりその安全度がかなり異なる。理論座屈強度に対する実験座屈強度の割合は、この場合、A5083 では、2-3材で 1.4%, 3-3材で平均 2.6% 増、A7N01 では 2-3材で 14.4%, 3-3材で平均 -3.4% 増を示す。A5083 に比べて A7N01 では細長比が小なるとき安全度の高が目立つ。2) なお、かういは断面寸法では、A5083, A7N01 共に局部座屈は認められず、柱は横倒れ変形に支配された全体座屈で崩壊に到る。

本研究に際しては、軽金属協会の研究補助金をうけた事を附記する。